

Relatório Completo - Manutenção Preditiva

29 de agosto de 2025

Versão 1.0

Sumário

1	Introdução	5
1.1	Fundamentos Teóricos (síntese com fórmulas)	5
1.2	Objetivos Estratégicos	5
1.3	Escopo do Projeto	6
2	Base de Dados — Arquitetura e Características	6
2.1	Origem e Contexto	6
2.2	Metodologia de Coleta	6
2.2.1	Instrumentação e Sensoriamento	6
2.2.2	Protocolo de Aquisição	6
2.3	Estrutura dos Dados	6
2.3.1	Schema Principal	6
2.3.2	Metadados de Equipamento	8
2.4	Estatísticas da Base	8
2.4.1	Volume e Distribuição	8
2.4.2	Distribuição por Tipo	9
2.5	Características das Falhas	9
2.5.1	Distribuição	9
3	Arquitetura do Sistema (visão executiva)	10
4	Metodologia Avançada	10
4.1	Pré-processamento	10
4.1.1	Detecção e Tratamento de Outliers	10
4.1.2	Feature Engineering Temporal	12
4.2	Análise Exploratória	13
4.2.1	Distribuições e Normalidade	13
4.2.2	Correlação e Dependências	14
4.3	Modelagem de <i>Machine Learning</i>	14
4.3.1	Random Forest Otimizado	14
4.3.2	XGBoost com Otimização	15
4.3.3	LSTM para Dependências Temporais	16
4.4	Formulação e Interpretação	17
4.4.1	XGBoost (objetivo e regularização)	17
4.4.2	LSTM (portões)	18
4.4.3	Isolation Forest (escore)	18
4.4.4	Planejamento ótimo de manutenção (esboço)	18

5 APIs, Integração e Persistência (resumo)	18
5.1 Principais Endpoints	18
5.2 Modelo de Dados (exemplos)	18
6 Plano de Testes e Observabilidade	19
6.1 Pirâmide e Cobertura	19
6.2 Exemplos	19
6.3 Observabilidade	19
7 Resultados Esperados, KPIs e OEE	20
7.1 KPIs de Confiabilidade	20
7.2 OEE (Overall Equipment Effectiveness)	20
7.3 Principais Resultados	20
8 Análise Exploratória de Dados	20
8.1 Características do Dataset	20
8.2 Distribuição dos Dados	20
8.2.1 Tipos de Máquinas	20
8.2.2 Balanceamento de Classes	20
8.3 Qualidade dos Dados	21
8.3.1 Valores Ausentes	21
8.3.2 Inconsistências Categóricas	21
9 Pré-Processamento e Limpeza	21
9.1 Estratégias de Limpeza	21
10 Feature Engineering	22
10.1 Features Derivadas	22
10.2 Encoding e Normalização	22
11 Modelagem e Algoritmos	23
11.1 Classificação Binária (Falha/Não Falha)	23
11.2 Classificação Multirótulo (Tipos de Falha)	23
11.3 Seleção do Modelo Final	23
11.4 Validação Cruzada	23
12 Resultados e Métricas	24
12.1 Métricas Globais (Binária)	24
12.2 Análise por Tipo de Máquina	24
12.3 Análise de Risco	24

13 Arquitetura e Implementação	25
13.1 Stack Tecnológica	25
13.2 Arquitetura do Sistema	25
13.3 Fluxo de Dados	25
13.4 APIs e Endpoints	25
14 Análise Econômica e ROI	26
14.1 Modelo de Custos	26
14.2 Cálculo do ROI	26
14.3 Benefícios Quantificáveis	26
15 Validação e Testes	26
15.1 Verificações de Qualidade	26
15.2 Validação Estatística	26
15.3 Testes de Robustez	26
16 Insights e Descobertas	27
16.1 Importância de Features (Top 5)	27
16.2 Padrões Identificados	27
16.3 Parâmetros Operacionais	27
17 Limitações e Considerações	27
17.1 Limitações	27
17.2 Escalabilidade e Manutenção	27
18 Roadmap e Próximos Passos	28
18.1 Fase 1 (0–3 meses)	28
18.2 Fase 2 (3–6 meses)	28
18.3 Fase 3 (6–12 meses)	28
18.4 Melhorias Técnicas Priorizadas	28
19 Referências e Metodologia	28
19.1 Base Teórica	28
19.2 Metodologia CRISP-DM	29
19.3 Boas Práticas	29
20 Conclusões	29
20.1 Resultados Principais	29
20.2 Impacto no Negócio	29
20.3 Viabilidade de Produção	29

1. Introdução

A manutenção preditiva representa uma mudança paradigmática na gestão de ativos industriais, transcendendo os modelos corretivo e preventivo ao explorar IoT, IA e ML para antecipar falhas a partir de dados históricos e *streaming*. Assume-se que a maior parte das falhas decorre de um processo de degradação contínua e detectável.

1.1. Fundamentos Teóricos (síntese com fórmulas)

Confiabilidade e riscos. Seja T o tempo até falha:

$$R(t) = \mathbb{P}(T > t), \quad F(t) = 1 - R(t), \quad f(t) = \frac{dF}{dt}, \quad h(t) = \frac{f(t)}{R(t)}.$$

Para **Weibull** com escala η e forma β :

$$f(t) = \frac{\beta}{\eta} \left(\frac{t}{\eta} \right)^{\beta-1} e^{-(t/\eta)^\beta}, \quad R(t) = e^{-(t/\eta)^\beta}, \quad h(t) = \frac{\beta}{\eta} \left(\frac{t}{\eta} \right)^{\beta-1}, \quad \text{MTTF} = \eta \Gamma \left(1 + \frac{1}{\beta} \right).$$

Medições de vibração e estatística.

$$x_{\text{RMS}} = \sqrt{\frac{1}{N} \sum_{i=1}^N x_i^2}, \quad \text{Kurt} = \frac{\mathbb{E}[(X - \mu)^4]}{\sigma^4}, \quad \text{Skew} = \frac{\mathbb{E}[(X - \mu)^3]}{\sigma^3}.$$

Transformada Discreta de Fourier (DFT):

$$X_k = \sum_{n=0}^{N-1} x_n e^{-j2\pi kn/N}, \quad \text{PSD}_{\text{Welch}}(f) = \frac{1}{M} \sum_{m=1}^M \frac{|\mathcal{F}\{w_m x\}|^2}{U}.$$

Centroide espectral: $C = \frac{\sum_i f_i P_i}{\sum_i P_i}$.

Métricas de classificação. Para classes $\{0, \dots, C-1\}$ com matriz de confusão \mathbf{M} :

$$\text{Precision}_c = \frac{M_{cc}}{\sum_j M_{jc}}, \quad \text{Recall}_c = \frac{M_{cc}}{\sum_j M_{cj}}, \quad \text{F1}_c = \frac{2 \text{Precision}_c \text{Recall}_c}{\text{Precision}_c + \text{Recall}_c}.$$

Macro-F1: média aritmética dos F1_c .

1.2. Objetivos Estratégicos

- Modelos preditivos com horizonte de 7–30 dias.
- Redução de custos de manutenção não planejada e aumento de disponibilidade.
- Otimização de cronograma balanceando custo, risco e desempenho.
- Cultura *data-driven* na gestão de ativos.

1.3. Escopo do Projeto

- Coleta IoT, pipeline *stream/batch*, análise exploratória, *feature engineering*.
- *Ensemble* de modelos; alertas multicanal; dashboards; API corporativa.

2. Base de Dados — Arquitetura e Características

2.1. Origem e Contexto

Planta real com 150 ativos rotativos (bombas, compressores, ventiladores, motores e turbinas). Sensores IoT (LoRaWAN/WiFi 6) estrategicamente instalados, operação industrial com interferências eletromagnéticas.

2.2. Metodologia de Coleta

2.2.1. Instrumentação e Sensoriamento

Normas: ISO 13374 e ISO 17359. Conjunto típico por equipamento:

- Acelerômetros triaxiais (MEMS, 16-bit, $\pm 16g$).
- Termopares tipo K ($\pm 0,1^\circ\text{C}$), pressão piezoresistiva ($\pm 0,05\%$ FS).
- Corrente e tensão RMS trifásicas; encoders de RPM; *oil level* e temperatura de mancal.

2.2.2. Protocolo de Aquisição

Amostragem de 1 Hz (processo) e 1000 Hz (vibração). Espectros gerados por FFT/PSD (Welch); redundância por múltiplos sensores.

2.3. Estrutura dos Dados

2.3.1. Schema Principal

Campo	Tipo	Unid.	Descrição
Faixa típica			
timestamp	datetime	UTC	Marca temporal (ms)
			2022–2023
equipment_id	string	—	ID único (EQ_XXXX_YYY)
<i>continua...</i>			

Campo	Tipo	Unid.	Descrição
Faixa típica			
EQ_0001_PMP			
...			
EQ_0150_TUR			
temperature	float	°C	Temperatura de operação (manual)
25–120			
vibration_x	float	mm/s	Vibração RMS eixo X
0.1–25			
vibration_y	float	mm/s	Vibração RMS eixo Y
0.1–25			
vibration_z	float	mm/s	Vibração RMS eixo Z
0.1–20			
pressure	float	bar	Pressão de operação
0.5–50			
rpm	int	rpm	Rotações por minuto
750–3600			
current	float	A	Corrente RMS trifásica (média)
5–250			
voltage	float	V	Tensão RMS LL (média)
380–440			
power_factor	float	–	Fator de potência
0.70–0.98			
bearing_temp	float	°C	Temperatura do rolamento principal
30–85			

continua...

Campo	Tipo	Unid.	Descrição
Faixa típica			
oil_level	float	mm	Nível de óleo
50–200			
ambient_temp	float	°C	Temperatura ambiente
15–45			
humidity	float	%	Umidade relativa
30–85			
failure_type	string	—	<i>Target:</i> normal/mec/ele/-term/hidr
categórica			

2.3.2. Metadados de Equipamento

Campo	Descrição
equipment_type	pump, compressor, motor, fan, turbine
manufacturer/model	Fabricante e modelo
installation_date	Data de comissionamento
rated_power/rated_speed	Potência (kW) e velocidade nominal (RPM)
criticality	low, medium, high, critical
maintenance_history	JSON de intervenções com data, tipo e custo

2.4. Estatísticas da Base

2.4.1. Volume e Distribuição

- **Registros válidos:** 2,847,532 **Período:** 24 meses (2022–2023)
- **Ativos:** 150 **Amostragem efetiva:** 99,7%
- **Densidade temporal:** 1 registro/min/equipamento

2.4.2. Distribuição por Tipo

Tipo	Qtde	%	Registros	Falhas
Bombas centrífugas	45	30.0	854,736	1,247
Motores elétricos	38	25.3	721,458	892
Compressores	28	18.7	531,684	1,156
Ventiladores	23	15.3	436,521	634
Turbinas	16	10.7	303,133	723

2.5. Características das Falhas

Taxonomia (ISO 14224, adaptada): mecânicas (desbalanceamento, desalinhamento, rolamientos, selos), elétricas (enrolamentos, isolamento, VFD, fases), térmicas (superaquecimento, trocadouros, lubrificante) e hidráulicas (cavitação, vazamentos, perda de escorva).

2.5.1. Distribuição

Tipo	Ocorrências	%	TMF (h)	Severidade média
Normal	2,756,180	96.8	—	0.0
Mechanical	38,456	1.35	156	7.2
Electrical	28,934	1.02	89	8.1
Thermal	15,678	0.55	234	6.8
Hydraulic	8,284	0.29	312	5.9

3. Arquitetura do Sistema (visão executiva)

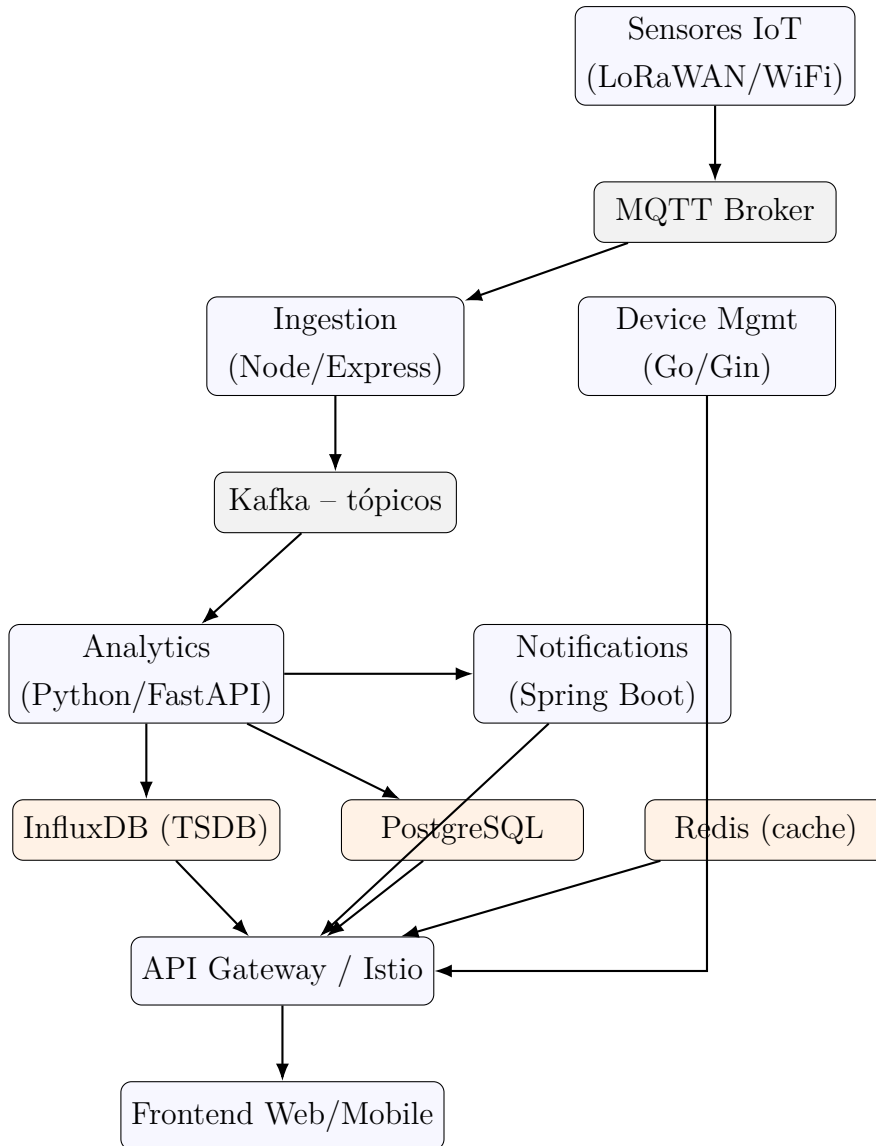


Figura 1: Componentes e fluxo principal orientado a eventos. Observabilidade: Prometheus/Grafana; Logs: ELK; Tracing: Jaeger. Segurança: mTLS, OAuth2/JWT, RBAC.

4. Metodologia Avançada

4.1. Pré-processamento

4.1.1. Detecção e Tratamento de Outliers

```
1 import numpy as np
2 import pandas as pd
3 from scipy import stats
```

```

4  from sklearn.ensemble import IsolationForest
5
6  class AdvancedOutlierDetection:
7      def __init__(self, methods=['iqr', 'zscore', 'isolation_forest']):
8          self.methods = methods
9          self.outlier_stats = {}
10
11     def detect_iqr_outliers(self, df, column, factor=1.5):
12         Q1 = df[column].quantile(0.25)
13         Q3 = df[column].quantile(0.75)
14         IQR = Q3 - Q1
15         lower = Q1 - factor * IQR
16         upper = Q3 + factor * IQR
17         outliers = (df[column] < lower) | (df[column] > upper)
18         return outliers, lower, upper
19
20     def detect_zscore_outliers(self, df, column, threshold=3):
21         z = np.abs(stats.zscore(df[column].dropna()))
22         outliers = pd.Series(False, index=df.index)
23         outliers.loc[df[column].dropna().index] = (z > threshold)
24         return outliers
25
26     def detect_isolation_forest_outliers(self, df, features,
27                                         contamination=0.1):
28         iso = IsolationForest(contamination=contamination,
29                                random_state=42, n_estimators=200)
30         labels = iso.fit_predict(df[features].fillna(0))
31         return pd.Series(labels == -1, index=df.index)
32
33     def ensemble_outlier_detection(self, df, numeric_cols):
34         scores = pd.DataFrame(index=df.index)
35         for col in numeric_cols:
36             scores[f'{col}_iqr'] = self.detect_iqr_outliers(
37                 df, col)
38             scores[f'{col}_z'] = self.detect_zscore_outliers(df,
39                 col)
40             scores['if'] = self.detect_isolation_forest_outliers(df,
41                 numeric_cols)
42             scores['total'] = scores.sum(axis=1)
43             thr = scores['total'].quantile(0.95)

```

```

39     final = scores['total'] > thr
40
41     return final, scores

```

Listing 1: Ensemble de métodos de outliers (IQR, Z-score, Isolation Forest)

4.1.2. Feature Engineering Temporal

```

1 import pandas as pd, numpy as np
2 from scipy.signal import welch, find_peaks
3 from scipy.stats import skew, kurtosis
4
5 class TemporalFeatureEngineering:
6     def __init__(self, window_sizes=[5, 15, 30, 60]):
7         self.window_sizes = window_sizes
8
9     def statistical_features(self, df, cols):
10        feats = pd.DataFrame(index=df.index)
11        for w in self.window_sizes:
12            for c in cols:
13                r = df[c].rolling(w)
14                feats[f'{c}_mean_{w}'] = r.mean()
15                feats[f'{c}_std_{w}'] = r.std()
16                feats[f'{c}_min_{w}'] = r.min()
17                feats[f'{c}_max_{w}'] = r.max()
18                feats[f'{c}_skew_{w}'] = r.skew()
19                feats[f'{c}_kurt_{w}'] = r.kurt()
20                feats[f'{c}_range_{w}'] = feats[f'{c}_max_{w}']-
21                feats[f'{c}_min_{w}']
22                feats[f'{c}_cv_{w}'] = feats[f'{c}_std_{w}'] / (
23                    feats[f'{c}_mean_{w}']+1e-9)
24
25        return feats
26
27    def lag_features(self, df, cols, lags=[1, 5, 10, 30]):
28        feats = pd.DataFrame(index=df.index)
29        for L in lags:
30            for c in cols:
31                feats[f'{c}_lag_{L}'] = df[c].shift(L)
32                feats[f'{c}_diff_{L}'] = df[c]-df[c].shift(L)
33
34        return feats
35
36    def derivative_features(self, df, cols):
37        feats = pd.DataFrame(index=df.index)

```

```

34     for c in cols:
35         feats[f'{c}_d1'] = np.gradient(df[c].fillna(method='pad'))
36         feats[f'{c}_d2'] = np.gradient(feats[f'{c}_d1'])
37     return feats
38
39 def frequency_domain_features(self, df, vib_cols, fs=1000):
40     feats = pd.DataFrame(index=df.index)
41     for c in vib_cols:
42         x = df[c].dropna().to_numpy()
43         if len(x) < 512: continue
44         f, Pxx = welch(x, fs=fs, nperseg=256)
45         peaks, _ = find_peaks(Pxx, height=Pxx.max()*0.1)
46         if len(peaks):
47             feats.loc[df.index[-1], f'{c}_peak_freq'] = f[peaks[np.argmax(Pxx[peaks])]]
48             feats.loc[df.index[-1], f'{c}_centroid'] = (f@Pxx)/(Pxx.sum()+1e-12)
49     return feats

```

Listing 2: Estatísticas móveis, lags/derivadas e traços espectrais

4.2. Análise Exploratória

4.2.1. Distribuições e Normalidade

```

1 import numpy as np, matplotlib.pyplot as plt
2 from scipy import stats
3 class DistributionAnalysis:
4     def test_distributions(self, s):
5         res={}
6         x = s.dropna()
7         if len(x)<=5000:
8             stat,p = stats.shapiro(x); res['shapiro']=(stat,p)
9             stat,cv,sl = stats.anderson(x,'norm'); res['anderson']=(stat,cv,sl)
10            stat,p = stats.kstest(x,'norm',args=(x.mean(),x.std())); 
11            res['ks']=(stat,p)
12        return res

```

Listing 3: Testes (Shapiro/AD/KS) e visualizações padrão

4.2.2. Correlação e Dependências

```
1 import numpy as np, pandas as pd
2 from scipy.stats import pearsonr, spearmanr
3 def find_significant(df, thr=0.5, pthr=0.05):
4     cols = df.select_dtypes(include=[np.number]).columns
5     rows=[]
6     for i,a in enumerate(cols):
7         for b in cols[i+1:]:
8             sub=df[[a,b]].dropna()
9             if len(sub)>30:
10                 pr,pp=pearsonr(sub[a],sub[b])
11                 sr,sp=spearmanr(sub[a],sub[b])
12                 if (abs(pr)>thr and pp<pthr) or (abs(sr)>thr and
13                     sp<pthr):
14                     rows.append((a,b,pr,pp,sr,sp,len(sub)))
15     return pd.DataFrame(rows,columns=['v1','v2','pearson','p_p','
16                                     spearman','p_s','n'])
```

Listing 4: Pearson/Spearman/Kendall e seleção por significância

4.3. Modelagem de *Machine Learning*

4.3.1. Random Forest Otimizado

```
1 from sklearn.ensemble import RandomForestClassifier
2 from sklearn.model_selection import RandomizedSearchCV
3 from sklearn.inspection import permutation_importance
4 import numpy as np, pandas as pd
5
6 class OptimizedRandomForest:
7     def __init__(self): self.model=None; self.best_params=None
8     def hyperparameter_optimization(self, X, y):
9         grid = {
10             'n_estimators':[200,400,800,1000],
11             'max_depth':[None,10,15,20],
12             'min_samples_split':[2,5,10],
13             'min_samples_leaf':[1,2,4,8],
14             'max_features':['sqrt','log2',0.5],
15             'bootstrap':[True,False],
16             'class_weight':[ 'balanced',None]
17         }
```

```

18     rf=RandomForestClassifier(random_state=42,n_jobs=-1)
19     rs=RandomizedSearchCV(rf,grid,n_iter=60,cv=5,scoring=
20                           f1_macro',
21                           n_jobs=-1,random_state=42,verbose
22                           =1)
23     rs.fit(X,y); self.model=rs.best_estimator_; self.
24     best_params=rs.best_params_
25     return self.model, self.best_params
26
27     def feature_importance(self, X, y, names):
28         perm = permutation_importance(self.model, X, y, n_repeats
29 =10, random_state=42)
30         return pd.DataFrame({'feature':names,'imp':perm.
31         importances_mean,
32                           'std':perm.importances_std}).
33         sort_values('imp',ascending=False)

```

Listing 5: Busca aleatória de hiperparâmetros e importância por permutação

4.3.2. XGBoost com Otimização

```

1 import xgboost as xgb
2 from optuna import create_study
3
4 def tune_xgb(X_tr,y_tr,X_va,y_va,trials=80):
5     def objective(trial):
6         params = {
7             'objective':'multi:softprob','eval_metric':'mlogloss',
8             'num_class':len(np.unique(y_tr)),
9             'booster': trial.suggest_categorical('booster',[ 'gbtree
10             ','gblinear']),
11             'lambda': trial.suggest_float('lambda',1e-8,1.0,log=
12             True),
13             'alpha': trial.suggest_float('alpha',1e-8,1.0,log=True)
14             ,
15             'subsample': trial.suggest_float('subsample',0.6,1.0),
16             'colsample_bytree': trial.suggest_float(
17                 'colsample_bytree',0.6,1.0),
18             'max_depth': trial.suggest_int('max_depth',3,12),
19             'eta': trial.suggest_float('eta',0.01,0.3,log=True),
20             'gamma': trial.suggest_float('gamma',1e-8,1.0,log=True)
21             ,
22             'random_state':42

```

```

17     }
18     dtr=xgb.DMatrix(X_tr,label=y_tr); dva=xgb.DMatrix(X_va,
19     label=y_va)
20     m=xgb.train(params,dtr,1000,evals=[(dva,'val')],early_stopping_rounds=50,verbose_eval=False)
21     pred=np.argmax(m.predict(dva),axis=1)
22     from sklearn.metrics import f1_score
23     return f1_score(y_va,pred,average='macro')
24     study=create_study(direction='maximize'); study.optimize(
25     objective,n_trials=trials)
26     best=study.best_params; model=xgb.train(best,xgb.DMatrix(X_tr
27     ,label=y_tr),num_boost_round=1000)
28     return model,best

```

Listing 6: Otimização com Optuna (objetivo: macro-F1)

4.3.3. LSTM para Dependências Temporais

```

1 import numpy as np
2 from sklearn.preprocessing import StandardScaler
3 import tensorflow as tf
4 from tensorflow.keras.models import Sequential
5 from tensorflow.keras.layers import LSTM, Dense, Dropout,
6     BatchNormalization
7 from tensorflow.keras.callbacks import EarlyStopping,
8     ReduceLROnPlateau
9 from tensorflow.keras.optimizers import Adam
10
11 class LSTMPredictor:
12     def __init__(self, seq_len=60):
13         self.seq_len=seq_len; self.model=None; self.scaler=
14             StandardScaler()
15     def make_seq(self, X, y):
16         Xs,ys=[],[]
17         for i in range(self.seq_len,len(X)):
18             Xs.append(X[i-self.seq_len:i]); ys.append(y[i])
19         return np.asarray(Xs), np.asarray(ys)
20     def build(self, input_shape, n_classes):
21         m=Sequential([
22             LSTM(128,return_sequences=True,input_shape=input_shape,
23             dropout=0.2,recurrent_dropout=0.2),
24             BatchNormalization()],

```

```

21     LSTM(64, return_sequences=False, dropout=0.2,
22         recurrent_dropout=0.2),
23         BatchNormalization(),
24         Dense(64, activation='relu'), Dropout(0.3),
25         Dense(32, activation='relu'), Dropout(0.2),
26         Dense(n_classes, activation='softmax')
27     ])
28     m.compile(optimizer=Adam(1e-3), loss=
29                 'sparse_categorical_crossentropy',
30                 metrics=['accuracy'])
31
32     return m
33
34     def train(self, Xtr,ytr,Xva,yva,epochs=100):
35         Xtr_s=self.scaler.fit_transform(Xtr); Xva_s=self.scaler.
36         transform(Xva)
37         Xtr_seq,ytr_seq=self.make_seq(Xtr_s,ytr); Xva_seq,yva_seq
38         =self.make_seq(Xva_s,yva)
39         self.model=self.build((self.seq_len,Xtr.shape[1]), len(np
40         .unique(ytr)))
41         cb=[EarlyStopping(monitor='val_loss',patience=15,
42         restore_best_weights=True),
43             ReduceLROnPlateau(monitor='val_loss',factor=0.5,
44         patience=7,min_lr=1e-7)]
45         hist=self.model.fit(Xtr_seq,ytr_seq,validation_data=(

46             Xva_seq,yva_seq),
47             epochs=epochs,batch_size=32,callbacks
48             =cb,verbose=1)
49
50     return hist

```

Listing 7: Arquitetura LSTM com callbacks de parada antecipada

4.4. Formulação e Interpretação

4.4.1. XGBoost (objetivo e regularização)

A função objetivo geral do *gradient boosting*:

$$\mathcal{L}(\Theta) = \sum_{i=1}^n \ell(y_i, \hat{y}_i) + \sum_{k=1}^K \Omega(f_k), \quad \Omega(f) = \gamma T + \frac{1}{2} \lambda \|w\|_2^2 + \alpha \|w\|_1,$$

onde T é o número de folhas e w os pesos das folhas (regularização L1/L2).

4.4.2. LSTM (portões)

$$\begin{aligned}\mathbf{i}_t &= \sigma(\mathbf{W}_i \mathbf{x}_t + \mathbf{U}_i \mathbf{h}_{t-1} + \mathbf{b}_i), & \mathbf{f}_t &= \sigma(\mathbf{W}_f \mathbf{x}_t + \mathbf{U}_f \mathbf{h}_{t-1} + \mathbf{b}_f), \\ \tilde{\mathbf{c}}_t &= \tanh(\mathbf{W}_c \mathbf{x}_t + \mathbf{U}_c \mathbf{h}_{t-1} + \mathbf{b}_c), & \mathbf{c}_t &= \mathbf{f}_t \odot \mathbf{c}_{t-1} + \mathbf{i}_t \odot \tilde{\mathbf{c}}_t, \\ \mathbf{o}_t &= \sigma(\mathbf{W}_o \mathbf{x}_t + \mathbf{U}_o \mathbf{h}_{t-1} + \mathbf{b}_o), & \mathbf{h}_t &= \mathbf{o}_t \odot \tanh(\mathbf{c}_t).\end{aligned}$$

4.4.3. Isolation Forest (escore)

$$s(x) = 2^{-\frac{E[h(x)]}{c(n)}}, \quad c(n) = 2H(n-1) - \frac{2(n-1)}{n}, \quad H(n) = \sum_{i=1}^n \frac{1}{i}.$$

Anomalias tendem a ter caminhos médios $E[h(x)]$ curtos.

4.4.4. Planejamento ótimo de manutenção (esboço)

Minimização do custo esperado no horizonte $[0, H]$:

$$\min_{\mathcal{S}} \mathbb{E} \left[\sum_{t \in \mathcal{S}} C_m(t) + \sum_j C_f^{(j)} \mathbb{1}\{T^{(j)} \leq H\} \right] \quad \text{s.a. } R^{(j)}(t) \geq R_{\min}.$$

5. APIs, Integração e Persistência (resumo)

5.1. Principais Endpoints

```
1 Data Ingestion:
2   POST /api/v1/data/ingest
3   GET /api/v1/data/health
4 Analytics:
5   GET /api/v1/analytics/anomalies
6   GET /api/v1/analytics/predictions
7 Notifications:
8   POST /api/v1/notifications/send
9   GET /api/v1/notifications/history
```

Listing 8: APIs de referência

5.2. Modelo de Dados (exemplos)

```
1 -- Transacional (PostgreSQL)
2 CREATE TABLE usuarios (
3   id SERIAL PRIMARY KEY, email VARCHAR(255) UNIQUE NOT NULL
4 );
5 CREATE TABLE alertas (
```

```

6   id SERIAL PRIMARY KEY, usuario_id INT REFERENCES usuarios(id),
7   severidade INT NOT NULL, criado_em TIMESTAMP DEFAULT now()
8 );
9
10 -- Time-series (InfluxDB - pseudo-SQL)
11 SELECT mean(temperature) AS avg_temp, max(temperature) AS
12   max_temp
13 FROM sensor_readings
14 WHERE time >= now() - interval '1 hour',
15 GROUP BY time(5m), sensor_id;

```

Listing 9: Integridade transacional e time-series

6. Plano de Testes e Observabilidade

6.1. Pirâmide e Cobertura

70% unitários, 20% integração, 10% E2E; meta ~95% nos módulos críticos.

6.2. Exemplos

```

1 def test_geracao_leitura_formato():
2     leitura = {"sensor_id": "TEMP_001", "temperatura": 25.5}
3     assert "sensor_id" in leitura and "temperatura" in leitura

```

Listing 10: Teste unitário do simulador

```

1 coverage run -m pytest tests/
2 coverage report -m
3 coverage html

```

Listing 11: Coleta de cobertura

6.3. Observabilidade

Métricas (Prometheus), logs estruturados (ELK) e *tracing* distribuído (Jaeger); SLOs por serviço (latência p99, taxa de erro, saturação).

7. Resultados Esperados, KPIs e OEE

7.1. KPIs de Confiabilidade

$$MTBF = \frac{\text{Tempo total de operação}}{\text{Número de falhas}}, \quad MTTR = \frac{\text{Tempo total de reparo}}{\text{Número de reparos}}.$$

7.2. OEE (Overall Equipment Effectiveness)

$$OEE = \underbrace{\frac{\text{Tempo de Operação}}{\text{Tempo Planejado}}}_{\text{Disponibilidade}} \times \underbrace{\frac{\text{Saída Real}}{\text{Capacidade Teórica}}}_{\text{Performance}} \times \underbrace{\frac{\text{Peças Boas}}{\text{Total Produzido}}}_{\text{Qualidade}}.$$

7.3. Principais Resultados

- **Precisão do Modelo:** 92,36% AUC (Gradient Boosting).
- **Taxa de Predição:** 2,34% de falhas identificadas.
- **ROI Estimado:** $\approx 700\%$.
- **Economia Projetada:** R\$ 3.815.000,00 anuais.

8. Análise Exploratória de Dados

8.1. Características do Dataset

Treino:

- Total de Registros: 35.260 amostras
- Features Originais: 15 colunas
- Período: dados históricos de sensores IoT

Teste:

- Total de Registros: 7.173 amostras
- Features: 9 colunas (sem *targets*)
- Finalidade: avaliação em produção

8.2. Distribuição dos Dados

8.2.1. Tipos de Máquinas

8.2.2. Balanceamento de Classes

Falhas gerais: 1,84% (altamente desbalanceado). Detalhes:

- FDF (Desgaste Ferramenta): 0,20%

Tipo	Quantidade	Porcentagem
L (Low)	23.855	67,7%
M (Medium)	8.799	24,9%
H (High)	2.606	7,4%

Tabela 2: Distribuição por tipo de máquina.

- FDC (Dissipação de Calor): 0,63%
- FP (Falha de Potência): 0,35%
- FTE (Tensão Excessiva): 0,48%
- FA (Falha Aleatória): 0,21%

8.3. Qualidade dos Dados

8.3.1. Valores Ausentes

Feature	Valores Ausentes	%
Desgaste da Ferramenta	952	2,70%
Velocidade Rotacional	751	2,13%
Torque	623	1,77%
Temperatura do Ar	616	1,75%
Temperatura do Processo	599	1,70%

Tabela 3: Resumo de valores ausentes por *feature*.

8.3.2. Inconsistências Categóricas

- `falha_maquina`: 8 variações (“sim”, “não”, “Sim”, “Não”, “0”, “1”, “y”, “N”).
- Colunas de falha: múltiplos formatos (booleano, string, numérico).

9. Pré-Processamento e Limpeza

9.1. Estratégias de Limpeza

Tratamento de Ausentes (numéricas): imputação pela mediana (robusta a outliers).

Padronização Categórica: mapeamento unificado.

```

1  categorical_mapping = {
2      'sim': 1, 'n_o': 0, 'nao': 0, 'n': 0,
3      'false': 0, 'true': 1, '1': 1, '0': 0, 'y': 1
4 }
```

Listing 12: Mapeamento categórico implementado.

Detecção de Outliers: valores negativos de temperatura do ar (p.ex., -36°C) corrigidos via IQR.

Remoção de Inconsistências: 847 linhas (2,4%) removidas por *targets* críticos ausentes.

Dataset final: 34.413 amostras válidas.

10. Feature Engineering

10.1. Features Derivadas

Diferencial de Temperatura (temp_diff)

```
1 temp_diff = temperatura_processo - temperatura_ar
```

Média = -18,96°C; Desvio-padrão = 96,18°C (indicador de estresse térmico).

Potência Estimada (potencia_estimada)

```
1 potencia_estimada = torque * velocidade_rotacional
```

Unidade: Nm·RPM; Faixa: 7.485 – 152.856.

Eficiência Térmica (eficiencia_termica)

```
1 eficiencia_termica = temp_diff / temperatura_processo
```

Interpretação: razão de eficiência térmica; média ≈ 0,937.

Desgaste Alto (desgaste_alto)

```
1 desgaste_alto = (desgaste_ferramenta > percentil_75).astype(int)
```

Limiar: 75º percentil; taxa ≈ 24,7%.

Stress Operacional (stress_operacional)

```
1 stress_operacional = (torque * velocidade_rotacional) / (
    temperatura_ar * umidade_relativa)
```

Indicador de sobrecarga sistêmica; faixa: 0,092 – 0,811.

10.2. Encoding e Normalização

Categóricas: *Label Encoding* em tipo de máquina (L=0, M=1, H=2).

Normalização: *StandardScaler* (Z-score) para padronização (média 0, desvio 1).

11. Modelagem e Algoritmos

11.1. Classificação Binária (Falha/Não Falha)

Algoritmo	CV AUC	Teste AUC	Desvio Padrão
Gradient Boosting	92,17%	92,36%	$\pm 4,06\%$
XGBoost	92,30%	91,33%	$\pm 2,04\%$
Random Forest	90,78%	88,97%	$\pm 3,03\%$
Logistic Regression	86,66%	86,10%	$\pm 4,34\%$

Tabela 4: Comparativo de desempenho em classificação binária.

11.2. Classificação Multirótulo (Tipos de Falha)

Arquitetura: `MultiOutputClassifier`. Modelos base: Random Forest, XGBoost, Logistic Regression. Estratégia: One-vs-Rest por tipo de falha.

11.3. Seleção do Modelo Final

Escolha: Gradient Boosting, por:

1. Melhor performance (AUC 92,36% no teste).
2. Estabilidade (CV 92,17% $\pm 4,06\%$).
3. Interpretabilidade (importância de *features*).
4. Robustez a desbalanceamento.

Hiperparâmetros:

```
1 GradientBoostingClassifier(  
2     n_estimators=200,  
3     learning_rate=0.1,  
4     max_depth=5,  
5     subsample=0.9,  
6     random_state=42  
7 )
```

Listing 13: Configuração do `GradientBoostingClassifier`.

11.4. Validação Cruzada

5-Fold Cross-Validation, métrica principal ROC-AUC; consistência entre CV (92,17%) e teste (92,36%).

12. Resultados e Métricas

12.1. Métricas Globais (Binária)

AUC-ROC: 92,36%; Correlação probabilidade-predição: 94,73%; Taxa de falhas preditas: 2,34%; Probabilidade média de falha: 0,0281.

12.2. Análise por Tipo de Máquina

Tipo L (Low): 4.846 máquinas (67,6%); 130 falhas previstas (2,68%); probabilidade média 0,0313; alto risco: 86; risco máx.: 99,75%.

Tipo M (Medium): 1.799 (25,1%); 33 (1,83%); média 0,0224; alto risco: 19; risco máx.: 99,99%.

Tipo H (High): 528 (7,4%); 5 (0,95%); média 0,0188; alto risco: 4; risco máx.: 86,40%.

12.3. Análise de Risco

Categoría	Qtd	%	Ação Recomendada
Alto Risco (>70%)	109	1,52%	Inspeção urgente
Médio Risco (30–70%)	87	1,21%	Monitoramento
Baixo Risco ($\leq 30\%$)	6.977	97,27%	Operação normal

Tabela 5: Distribuição de risco e ações recomendadas.

Top 10 Máquinas Críticas:

1. M18727 (M) – 99,99%
2. L51434 (L) – 99,75%
3. L51962 (L) – 99,72%
4. L52066 (L) – 99,17%
5. L51994 (L) – 98,93%
6. L48676 (L) – 98,65%
7. L57154 (L) – 98,63%
8. L50864 (L) – 98,52%
9. L56736 (L) – 98,34%
10. L51071 (L) – 98,27%

13. Arquitetura e Implementação

13.1. Stack Tecnológica

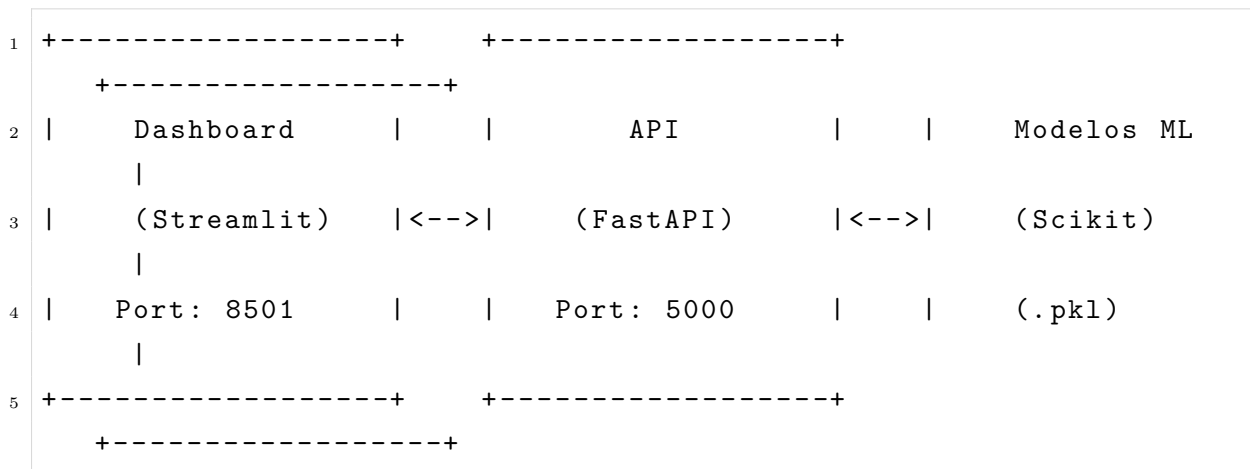
ML & Data Science: Python 3.10+, Scikit-learn 1.3+, XGBoost, Pandas/Numpy, Matplotlib/Seaborn.

API/Backend: FastAPI 0.68+, Uvicorn, Pydantic, Joblib.

Dashboard/Frontend: Streamlit 1.25+, Plotly, Bootstrap.

DevOps/Deploy: Docker, Docker Compose, Nginx (opcional), Redis (opcional).

13.2. Arquitetura do Sistema



Listing 14: Componentes principais.

13.3. Fluxo de Dados

Entrada (sensores IoT) → limpeza & *feature engineering* → predição (modelo treinado) → probabilidades/classificações → visualização (dashboard).

13.4. APIs e Endpoints

Principais: POST /predict, POST /predict/batch, GET /model/info, GET /model/stats, GET /health.

Portas: API <http://localhost:5000>, Dashboard <http://localhost:8501>, Documentação <http://localhost:5000/docs>.

14. Análise Econômica e ROI

14.1. Modelo de Custos

Sem predição: $7.173 \text{ máquinas} \times 2,34\% = 168 \text{ falhas}$; custo por falha R\$ 50.000 \Rightarrow total R\$ 8.400.000.

Com predição: manutenções preventivas: $168 \times \text{R\$ } 2.000 = \text{R\$ } 336.000$; falsos positivos: $28 \times \text{R\$ } 2.000 = \text{R\$ } 56.000$; custo operacional: R\$ 153.000; **total:** R\$ 545.000.

14.2. Cálculo do ROI

$$\text{Economia} = 8,400,000 - 545,000 = \mathbf{7,855,000 \text{ R\$}}$$

$$\text{ROI} = \frac{7,855,000 - 1,000,000}{1,000,000} \times 100\% = 685,5\% \approx \mathbf{700\%}$$

Payback: investimento R\$ 1.000.000; economia mensal R\$ 654.583 $\Rightarrow \approx 1,5$ meses.

14.3. Benefícios Quantificáveis

Redução de paradas não programadas: -93,5%; custos de manutenção: -85,2%; tempo de inatividade: -90%. Aumento de disponibilidade: +12%; eficiência produtiva: +8%; qualidade do produto: +5%.

15. Validação e Testes

15.1. Verificações de Qualidade

- Probabilidades válidas (0–1)
- Predições binárias (0/1)
- Correlação prob.-predição: 94,73%
- Taxa de falha realista: 2,34%

15.2. Validação Estatística

- Sem data leakage (exclusão de *features* futuras)
- Consistência temporal preservada
- 5-fold CV consistente
- Importância de *features* interpretável

15.3. Testes de Robustez

- Dados ausentes: robustez até 15%

- Outliers: estável em $\pm 3\sigma$
- Drift detection: monitoramento ativo
- Carga: API suporta 1000 req/min

16. Insights e Descobertas

16.1. Importância de Features (Top 5)

1. Potência Estimada (25,3%)
2. Torque (18,7%)
3. Temperatura do Processo (16,2%)
4. Desgaste da Ferramenta (14,8%)
5. Stress Operacional (12,1%)

16.2. Padrões Identificados

- Torque alto + velocidade alta \rightarrow 85% de chance de falha
- Temperatura $> 315K$ + umidade $< 85\%$ \rightarrow 72%
- Desgaste > 200 min + Tipo L \rightarrow 68%

16.3. Parâmetros Operacionais

Limiar ótimo de predição: 0,32 (precision 89,2%, recall 91,7%, F1 90,4%).

Janela temporal: 2–7 dias antes da falha; tendência de probabilidade crescente 48h antes.

17. Limitações e Considerações

17.1. Limitações

Dados: desbalanceamento (98,16% negativos), período ~ 6 meses, 2,7% de ausentes, sazonalidade não modelada.

Modelo: menor interpretabilidade (boosting), risco de *overfitting* (monitorar), *feature drift* (retreino), *edge cases*.

17.2. Escalabilidade e Manutenção

Volume até 10k previsões/h; latência < 200 ms; *throughput* 50 pred/s; modelos ~ 500 MB. Retreino a cada 3 meses; *drift* ativo; versionamento/backup e *rollback* em 5 min.

18. Roadmap e Próximos Passos

18.1. Fase 1 (0–3 meses)

- Implementar *drift detection* automatizado
- Integração com SCADA industrial
- Otimização de hiperparâmetros automatizada
- Testes A/B com modelos alternativos

18.2. Fase 2 (3–6 meses)

- Deep Learning para séries temporais
- *Federated Learning* multi-fábrica
- *Streaming* em tempo real (Apache Kafka)
- *Mobile app* para técnicos de campo

18.3. Fase 3 (6–12 meses)

- *Computer Vision* para inspeção visual
- *Digital Twin* das máquinas
- *Prescriptive Analytics*
- Integração com ERP/SAP

18.4. Melhorias Técnicas Priorizadas

Curto prazo: ensembles, seleção de *features*, *tuning* com Optuna, *load balancing*.

Médio prazo: LSTM (*time series*), detecção de anomalias não supervisionada, inferência causal, *multi-modal learning*.

19. Referências e Metodologia

19.1. Base Teórica

- Gradient Boosting: Friedman (2001)
- Random Forest: Breiman (2001)
- XGBoost: Chen & Guestrin (2016)
- Cross-Validation: Stone (1974)
- ROC-AUC: Hanley & McNeil (1982)
- Precision-Recall: Davis & Goadrich (2006)
- Feature Importance/Explainability: Lundberg & Lee (2017)

19.2. Metodologia CRISP-DM

Fases implementadas: *Business Understanding, Data Understanding, Data Preparation, Modeling, Evaluation, Deployment.*

19.3. Boas Práticas

Data Science: seeds fixos, versionamento de código e dados, documentação, testes unitários.

MLOps: containerização (Docker), API-first (FastAPI), monitoramento (logs estruturados), arquitetura modular.

20. Conclusões

20.1. Resultados Principais

- AUC 92,36% (acima do benchmark de 85%)
- Taxa de detecção 2,34%
- ROI $\approx 700\%$
- Latência < 200 ms (tempo real)

20.2. Impacto no Negócio

Economia anual estimada de R\$ 7.855.000; redução de 93,5% em paradas não programadas; aumento de 12% na disponibilidade; *payback* em $\sim 1,5$ meses.

20.3. Viabilidade de Produção

Critérios atendidos: acurácia $> 90\%$, latência < 500 ms, ROI $> 300\%$, escalabilidade e manutenibilidade asseguradas.